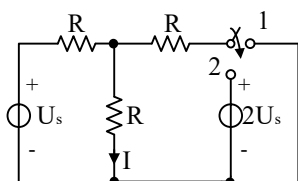


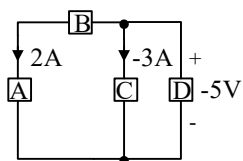
## 第一次作业 电阻电路

1.1 将合适答案填入空内：如图所示电路中，若开关 S 在位置“1”时， $I=3\text{A}$ ，则开关在位置“2”时， $I=$ \_\_\_\_\_。



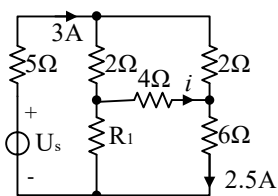
题 1.1 图

1.2 如图示电路，若已知元件 A 吸收功率为  $20\text{W}$ ，求元件 B 和 C 吸收的功率。



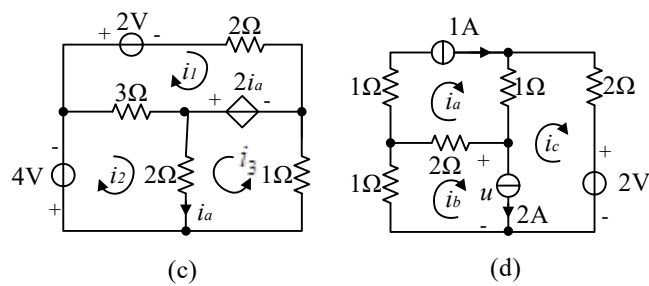
题 1.2 图

1.3 电路如图所示，求电流  $i$ 。



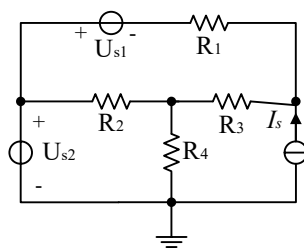
题 1.3 图

1.4 如图所示电路，试分别列出网孔方程（不必求解）。



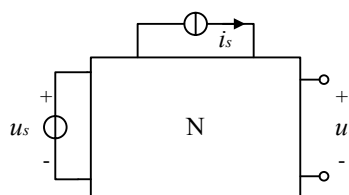
题 1.4 图

1.5 分别列出用网孔法和节点法分析如图所示电路所需的方程组（不必求解）。



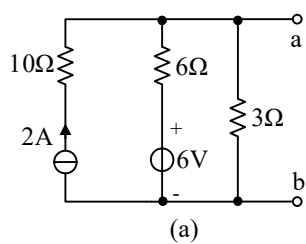
题 1.5 图

1.6 如图所示电路，N 为不含独立源的线性电路，已知：当  $u_s = 12\text{V}$ ， $i_s = 4\text{A}$  时， $u = 0$ ；当  $u_s = -12\text{V}$ ， $i_s = -2\text{A}$  时， $u = -1\text{V}$ 。求当  $u_s = 9\text{V}$ ， $i_s = -1\text{A}$  时的电压  $u$ 。



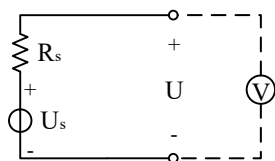
题 1.6 图

1.7 求如图所示各电路 ab 端的戴维南等效电路或诺顿等效电路。



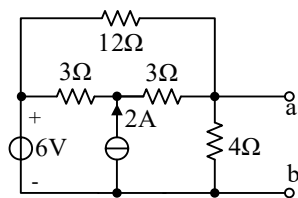
题 1.7 图

1.8 用电压表测量直流电路中某支路的电压，如图所示。当电压表的内电阻为  $20\text{k}\Omega$  时，电压表的读数为  $5\text{V}$ ；当电压表的内电阻为  $50\text{k}\Omega$  时，电压表的读数为  $10\text{V}$ 。问该支路的实际电压为多少？



题 1.8 图

1.9 （1）求如图所示电路  $ab$  端的戴维南等效电路或诺顿等效电路；（2）当  $ab$  端接可调电阻  $R_L$  时，问其为何值时能获得最大功率？此最大功率是多少？

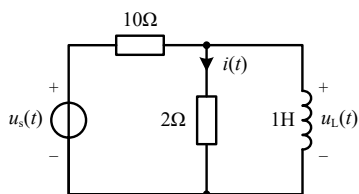


题 1.9 图

## 第二次作业 动态电路

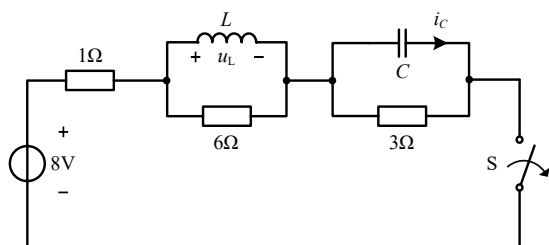
2.1 电路如图所示，输入为  $u_s(t)$ ：

- (1) 若输出为  $u_L(t)$ ，列写输入/输出微分方程。
- (2) 若输出为  $i(t)$ ，列写输入/输出微分方程。



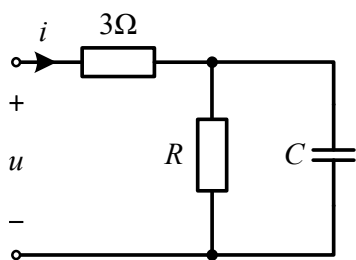
题 2.1 图

2.2 将合适答案填入空内。(1) 如图所示电路原已处于稳态， $t=0$  时开关 S 打开，则  $u_L(0_+) = \underline{\hspace{2cm}}$ ， $i_C(0_+) = \underline{\hspace{2cm}}$ 。



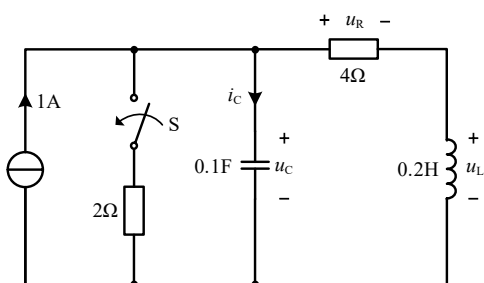
题 2.2 图

2.3 电路如图所示，已知  $u = 5 + 2e^{-2t}$  V,  $t \geq 0$ ,  $i = 1 + 2e^{-2t}$  A,  $t \geq 0$ , 求电阻  $R$  和电容  $C$ 。



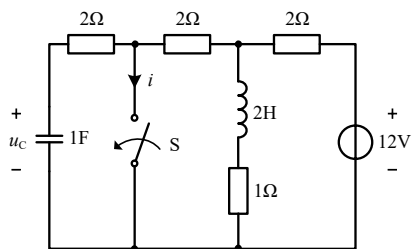
题 2.3 图

2.4 如图所示电路，在  $t < 0$  时开关 S 断开时电路已处于稳态，当  $t = 0$  时开关闭合，求初始值  $u_R(0_+)$ 、 $i_C(0_+)$  和  $u_L(0_+)$ 。



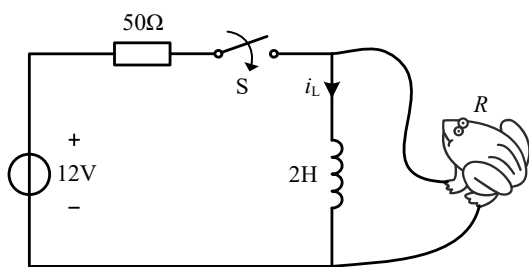
题 2.4 图

2.5 电路如图所示，在  $t < 0$  时开关 S 是断开的，电路已处于稳态， $t = 0$  时开关 S 闭合，求  $t \geq 0$  时的电流  $i$ 。



题 2.5 图

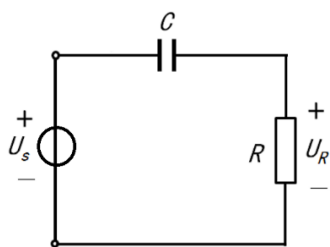
2.6 如图所示的电路用于生物课中让学生观察“青蛙的跳动”。学生注意到，当开关闭合时，青蛙只动一动，而当电源断开时，青蛙很剧烈地跳动了 5s，将青蛙的模型视为一电阻，计算该电阻值。（假设青蛙激烈跳动需要 10mA 的电流。）



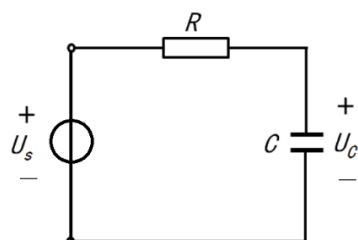
题 2.6 图

2.7 微分电路和积分电路如图 2.7 所示，其中  $R = 10k\Omega$ ， $C = 0.01\mu F$ ，输入信号  $u_s$  为  $V_{PP} 4V$  的方波信号。

- 1) 计算电路的时间常数  $\tau$ ；
- 2) 对微分电路 (a)，方波的频率有何要求？当方波频率为  $100Hz$  时，画出电阻两端电压  $u_R(t)$  的大致波形；
- 3) 对积分电路 (b)，方波的频率有何要求？当方波频率为  $50KHz$  时，画出电容两端电压  $u_C(t)$  的大致波形；
- 4) 思考题：电阻  $R$ 、电容  $C$  的大小变化时，对电路的输出有何影响？



(a) 微分电路



(b) 积分电路

图 2.7 一阶电路实验电路图



### 第三次作业 信号时域分解

3.1 画出下列各信号的波形

(1)  $f(t) = 2\varepsilon(t+1) - 3\varepsilon(t-1) + \varepsilon(t-2)$

(2)  $f(t) = \sin \pi(t-1)[\varepsilon(2-t) - \varepsilon(-t)]$

3.2 计算下列各题

(1)  $(1-t) \frac{d}{dt} [e^{-t} \delta(t)]$

(2)  $\int_{-\infty}^{\infty} e^{-2t} [\delta(t) + \delta'(t)] dt$

(3)  $\int_{-\infty}^t 4 \sin(\tau) \cdot \delta(\tau - \frac{\pi}{6}) d\tau$

$$(4) \int_t^{\infty} 4\text{Sa}(\tau) \cdot \delta(\tau - \frac{\pi}{6}) d\tau$$

$$(5) \int_{t-1}^{\infty} e^{-2(t-\tau)} \cdot \delta(\tau - 2) d\tau$$

3.3 已知  $f(t) = 2\varepsilon(t+1) - 3\varepsilon(t-1) + \varepsilon(t-2)$ ，计算  $\frac{df(t)}{dt}$ ，并画出图形。

## 第四次作业 系统的时域分析

4.1 求下列函数的卷积积分  $f_1(t) * f_2(t)$

(1)  $f_1(t) = f_2(t) = e^{-2t} \varepsilon(t)$

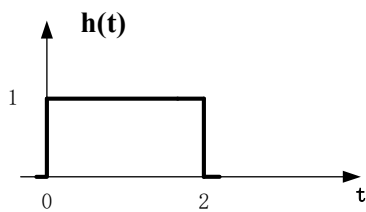
(2)  $f_1(t) = t\varepsilon(t-1)$ ,  $f_2(t) = \varepsilon(t+3)$

4.2、已知描述系统的微分方程和初始状态如下，试求其零输入响应、零状态响应和全响应，指出自由和强迫响应、暂态和稳态响应。

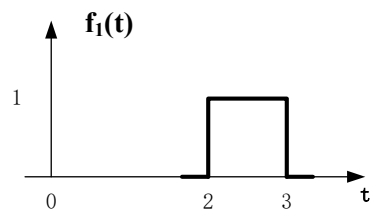
$$y''(t) + 4y'(t) + 4y(t) = f'(t) + 3f(t), \quad y(0_-) = 1, \quad y'(0_-) = 2, \quad f(t) = (2 + e^{-t})\varepsilon(t)$$

4.3、 描述系统的方程为  $y'(t) + 2y(t) = f''(t)$ 。求其冲激响应和阶跃响应。

4.4、 某 LTI 系统的冲激响应如图所示，求输入为  $f_1(t)$  时的零状态响应（用图解法，画出波形图）



(a)



(b)

4.5、 电路如图，激励为电压源 $u_s(t)$ ， $R$ 为可变电阻，电感 $L=8\text{mH}$ ，电容 $C=0.01\mu\text{F}$ ，

- (1) 设定电阻 $R=1\text{k}\Omega$ ，请针对图 (a) 建立电容  $C$  两端电压 $u_C(t)$  与电压源 $u_s(t)$ 之间的微分方程；针对图 (b) 建立电感  $L$  两端电压 $u_L(t)$  与电压源 $u_s(t)$ 之间的微分方程；针对图 (c) 建立电阻  $R$  两端电压 $u_R(t)$ 与电压源 $u_s(t)$ 之间的微分方程。
- (2) 当电路工作在过阻尼 ( $\alpha > \omega_0$ )、临界阻尼 ( $\alpha = \omega_0$ )、欠阻尼 ( $\alpha < \omega_0$ )、无阻尼 ( $\alpha = 0$ ) 四种情况时，分析电阻  $R$  的阻值范围。

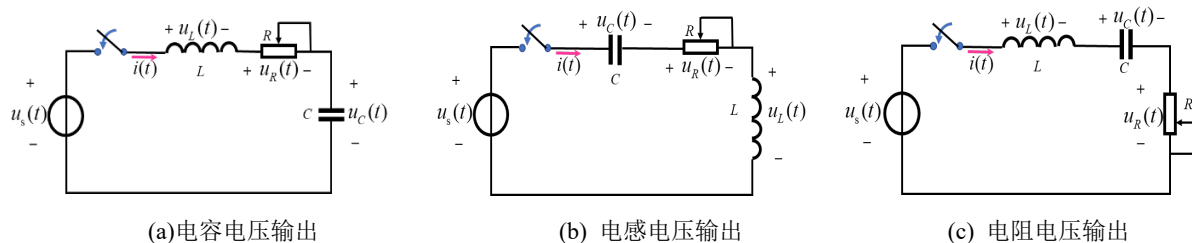
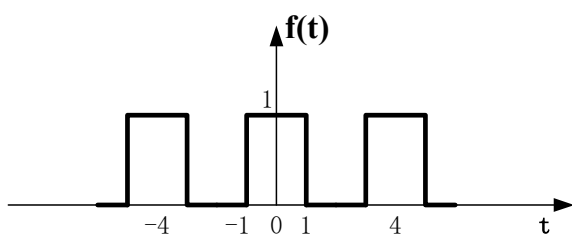


图 4.5 二阶  $RLC$  电路图

## 第五次作业 信号频域分解

5.1、 用直接计算傅里叶系数的方法，写出下图所示周期函数三种形式的傅立叶级数并画双边频谱图。

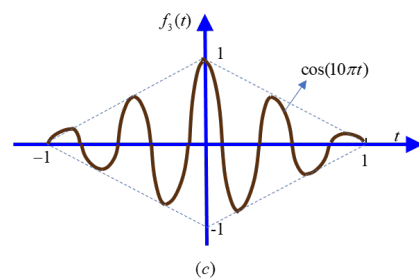
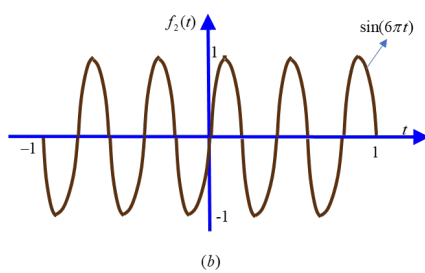
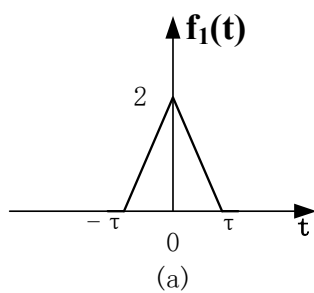


5.2、已知:  $f(t) = \sum_{n=-\infty}^{\infty} \frac{\sin(n\pi/2)}{n} e^{j2n\pi t}$

- 1)求 f(t)的周期、直流分量为和频率为 5Hz 的谐波分量;
- 2)写出 f(t)的时域表达式并画出波形。

5.3、f(t)的周期为 0.1s、傅立叶级数系数  $F_0 = 5$  ,  $F_3 = F_{-3}^* = 3$  ,  $F_5 = F_{-5}^* = 2j$  其余系数均为 0。试写出此信号的三角表达式 f(t)。

5.4、 利用  $g_\tau(t) \leftrightarrow \tau \text{Sa}(\omega\tau/2)$  求题图所示各信号的傅里叶变换。



5.5、 若已知  $\mathcal{F}[f(t)] = F(j\omega)$ ，试求下列函数的频谱。

(1)  $t \frac{df(t)}{dt}$

(2)  $(1-t)f(1-t)$



5.6、求函数  $F(j\omega) = [\varepsilon(\omega) - \varepsilon(\omega - 2)]e^{-j\omega}$  的傅里叶逆变换。

5.7、利用能量等式  $\int_{-\infty}^{\infty} f^2(t)dt = \frac{1}{2\pi} \int_{-\infty}^{\infty} |F(j\omega)|^2 d\omega$ ，计算积分  $\int_{-\infty}^{\infty} \left[\frac{\sin(t)}{t}\right]^2 dt$

5.8、利用傅里叶变换求卷积  $f(t) = Sa(t) * Sa(2t)$ 。

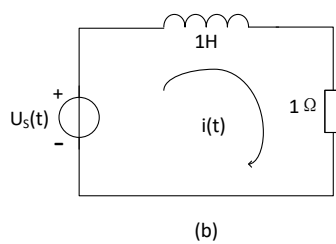
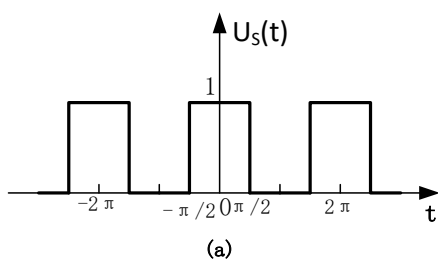
## 第六次作业 系统的频域分析

6.1 LTI 系统  $y''(t) + 5y'(t) + 6y(t) = f(t)$ 。求 1) 频响特性  $H(j\omega)$ ；2)  $f(t) = 3\cos(t + 0.2\pi)\varepsilon(t)$  时的稳态响应  $y_{ss}(t)$ 。

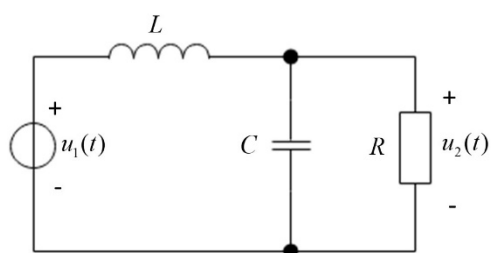
6.2 (1) LTI 系统的频响特性  $H(j\omega) = \frac{j\omega}{j\omega + 4}$ ，求系统在输入信号  $f(t) = 1 + 10\cos(4t)$  作用下的响应  $y(t)$ 。

(2) 若  $H(j\omega) = \frac{2}{j\omega + 4}$ ，求系统在输入信号  $f(t) = 1 + 10\cos(4t)$  作用下的响应  $y(t)$ 。

6.3 如图所示的周期性方波电压作用于 RL 电路，试求电流的前五次谐波。（选做）



6.4 求下图所示电路的频响特性， $H(j\omega) = \frac{U_2(j\omega)}{U_1(j\omega)}$ ， $R = 1\Omega, L = 1H, C = 1F$ 。



6.5 已知系统的频率特性  $H(j\omega) = \begin{cases} [4 - |\omega|]e^{-j\omega} & |\omega| < 4 \text{ rad/s} \\ 0 & |\omega| \geq 4 \text{ rad/s} \end{cases}$ , 输入为

$f(t) = 2 + \cos(t) + 0.2 \cos(3t + \pi/6) + 0.1 \cos(5t + \pi/3)$ 。(1) 求系统响应  $y(t)$ ; (2) 问信号经过系统后

是否有失真? 若有失真, 是幅度失真还是相位失真? 或是幅度、相位皆有失真?

6.6. 已知系统的频率特性  $H(j\omega) = \begin{cases} 5e^{-j^2}, \omega > 0 \\ 5, \omega = 0 \\ 5e^{j^2}, \omega < 0 \end{cases}$ , 输入为  $f(t) = 2 + \cos(t) + 0.2 \cos(3t) + 0.1 \cos(5t)$  (1)

求系统响应  $y(t)$ ; (2) 问信号经过系统后是否有失真? 若有失真, 是幅度失真还是相位失真? 或是幅度、相位皆有失真?

6.7. 理想低通滤波器频响特性  $H(j\omega) = 5G_{300\pi}(\omega)e^{-j3\omega}$ ,

- (1) 画出幅频、相频特性曲线;
- (2) 求输入为  $f(t) = 10 + 2\cos(100\pi t + \pi/6) + 4\cos(300\pi t + \pi/3)$  时的滤波器输出  $y(t)$ ;
- (3) 理想低通滤波器是否是因果系统? 能否物理实现?
- (4) 求输入为  $f(t) = Sa(20\pi t)\cos(100\pi t)$  时的滤波器输出  $y(t)$ 。

6.8. 理想低通滤波器频响特性  $H(j\omega) = 5G_{200\pi}(\omega)e^{-j3\omega}$ , 求输入为  $f(t) = Sa(20\pi t)\cos(100\pi t)$  时的滤波器输出  $y(t)$ , 画出  $Y(j\omega)$ 。

6.9 有限频带信号  $f(t)$  的最高频率为 100Hz, 若对下列信号进行时域取样, 求最小取样频率  $f_s$ 。

- (1)  $f(3t)$
- (2)  $f^2(t)$
- (3)  $f(t) * f(2t)$
- (4)  $f(3t) + f(t)f(3t)$

## 第七次作业 信号的 s 域分解

7.1、 利用常用函数[例如  $\varepsilon(t)$ ,  $e^{-at}\varepsilon(t)$ ,  $\sin(\beta t)\varepsilon(t)$ ,  $\cos(\beta t)\varepsilon(t)$  等]的象函数及拉普拉斯变换的性质, 求下列函数  $f(t)$  的拉普拉斯变换  $F(s)$ 。

(1)  $e^{-t}[\varepsilon(t) - \varepsilon(t-2)]$

(2)  $\frac{d^2}{dt^2}[\sin(\pi t)\varepsilon(t)]$

(3)  $\frac{d^2 \sin(\pi t)}{dt^2}\varepsilon(t)$

(4)  $t e^{-at} \cos(\beta t)\varepsilon(t)$

7.2、 求下列各象函数  $F(s)$  的拉普拉斯逆变换  $f(t)$ 。

(1)  $\frac{s^2 + 4s + 5}{s^2 + 3s + 2}$

(2)  $\frac{s + 5}{s(s^2 + 2s + 5)}$

7.3、求下列各象函数  $F(s)$  的拉普拉斯逆变换  $f(t)$ ，并粗略画出它们的**波形图**。

$$(1) \frac{1 - e^{-Ts}}{s + 1}$$

$$(2) \frac{\pi(1 - e^{-2s})}{s^2 + \pi^2}$$

7.4、下列象函数  $F(S)$  的原函数  $f(t)$  是  $t=0$  接入的有始周期信号，求周期  $T$  并写出其第一个周期 ( $0 < t < T$ ) 的时间函数表达式  $f_0(t)$ 。

$$(1) \frac{1}{1 + e^{-s}}$$

$$(2) \frac{\pi(1 + e^{-s})}{(s^2 + \pi^2)(1 - e^{-2s})}$$

7.5、求象函数的双边拉普拉斯逆变换。 $\frac{-s + 4}{(s^2 + 4)(s + 1)}, -1 < \text{Re}[s] < 0$

## 第八次作业 系统动态分析

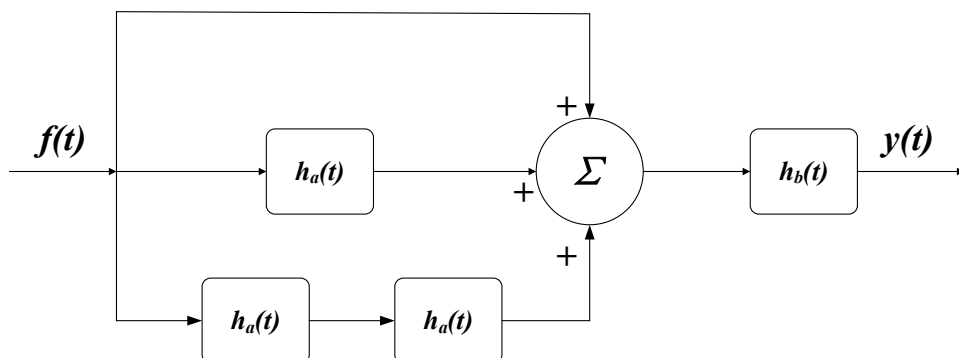
8.1、 已知描述系统的微分方程和初始状态如下，试求其零输入响应、零状态响应和全响应，指出自由和强迫响应、暂态和稳态响应。

$$y''(t) + 4y'(t) + 4y(t) = f'(t) + 3f(t), \quad y(0_-) = 1, \quad y'(0_-) = 2, \quad f(t) = (2 + e^{-t})\varepsilon(t)$$

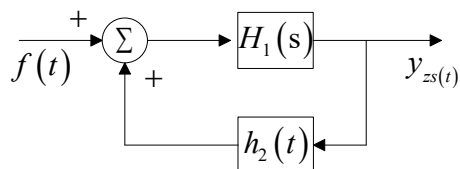
8.2、 描述系统的方程为  $y'(t) + 2y(t) = f''(t)$ 。求其冲激响应和阶跃响应。



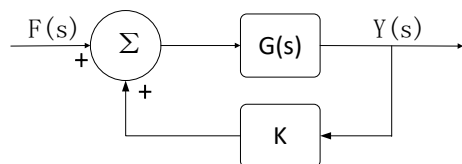
8.3、 如图所示的系统，它由几个子系统组合而成，各个子系统的冲激响应分别为  $h_a(t) = \delta(t-1)$   $h_b(t) = \varepsilon(t) - \varepsilon(t-3)$ 。求复合系统的冲激响应。



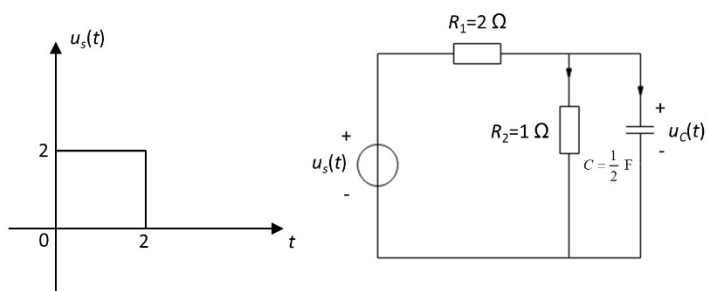
8.4、 如图所示复合系统是由 2 个子系统组成，子系统的系统函数或冲激响应如下，求复合系统的冲激响应。  $H_1(s) = \frac{1}{s+1}$ ,  $h_2(t) = 2e^{-2t}\varepsilon(t)$



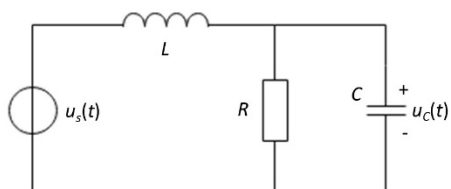
8.5、 如图所示为反馈因果系统，已知  $G(s) = \frac{s}{s^2 + 4s + 4}$ ， $K$  为常数。为使系统稳定，试确定  $K$  值的范围。



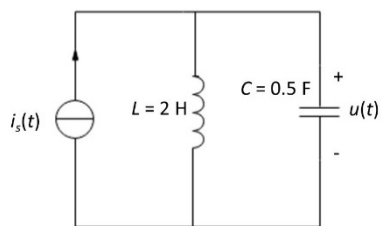
8.6、(1) 电路模型与输入电压波形如下图所示，已知电容的初始储能为零，求响应  $u_c(t)$ 。



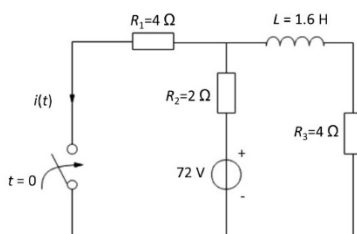
(2) 如下图所示网络，已知  $L = \frac{1}{2}\text{ H}$ ， $C = 1\text{ F}$ ， $R = \frac{1}{3}\ \Omega$ ，电容、电感的初始储能为零，输入信号  $u_s(t) = e^{-t}\varepsilon(t)$ ，求响应  $u_c(t)$ 。



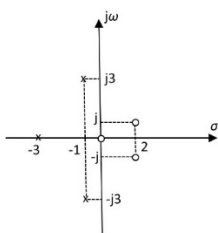
8.7、电路如下图所示。(1) 画出  $s$  域电路模型；(2) 若电流源  $i_s(t) = \varepsilon(t)$ ，求电压  $u(t)$ ，并指出其中自由&强迫、零输入&零状态、暂态、稳态解。



8.8、电路如下图所示。已知  $t < 0$  时电路处于稳定状态， $t = 0$  时开关闭合；求  $t > 0$  流过电阻  $R_1$  的电流  
(1) 全响应  $i(t)$ ；(2) 零输入响应分量  $i_{zi}(t)$ ；(3) 零状态响应分量  $i_{zs}(t)$ 。



8.9、某系统函数的零、极点分布如下图所示，已知  $H(s)|_{s \rightarrow \infty} = 5$ ，请写出系统函数  $H(s)$  的表达式。



8.10 电路如图 8.1 (a-d)，已知电阻  $R=1k\Omega$ ，电感  $L=8mH$ ，电容  $C=0.01\mu F$ ，激励电压源  $u_s(t)$  为  $V_{PP} 1V$  的方波信号（频率为  $500Hz$ ）。

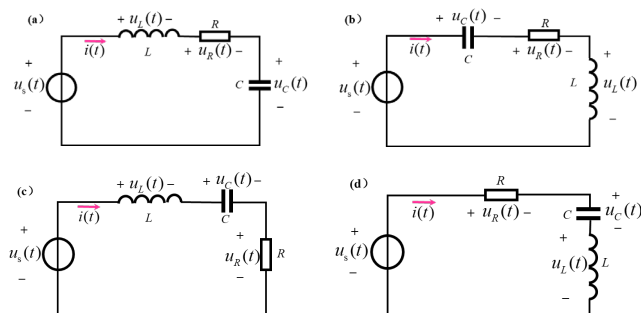


图 8.1 二阶 RLC 电路图 (a) 电容电压输出；(b) 电感电压输出；(c) 电阻电压输出；(d) 电感电容电压和输出

(1) 以电压源  $u_s(t)$  为激励，图 (a) 中以电容两端电压  $u_C(t)$  作为输出，图 (b) 中以电感两端电压  $u_L(t)$  作为输出，求两个系统的频响特性或系统函数，指出电路实现的功能，并计算系统的截止频率  $f_c$ 。

(2) 以电压源  $u_s(t)$  为激励，图 (c) 中以电阻两端电压  $u_R(t)$  作为输出，图 (d) 中以电感和电容两端的电压和  $u_L(t) + u_C(t)$  作为输出，求两个系统的频响特性或系统函数，指出电路实现的功能，并计算系统的中心频率  $f_0$  以及品质因素  $Q$ 。

(3) 改变电容值  $C=0.033\mu F$ ，重新计算 (a-b) 滤波电路的截止频率  $f_c$ ，(c-d) 滤波电路的中心频率  $f_0$  及品质因素  $Q$ 。